

Chapter 4

复分析和流体力学

给定一个解析函数 $f(z) = u + iv$ ，我们知道 u 和 v 是调和函数，满足

$$(\partial_x^2 + \partial_y^2)u = 0, \quad (\partial_x^2 + \partial_y^2)v = 0, \quad (4.1)$$

或

$$\partial_z \partial_{\bar{z}} u = 0, \quad \partial_z \partial_{\bar{z}} v = 0. \quad (4.2)$$

同时，调和函数是物理和工程中经常碰到的函数，出现在流体力学，静电和静磁学，热传导等等。这一章以流体力学为例简介复变函数的应用。

4.1 定常不可压缩势流

流体力学的研究可以部分归结为对流速场的研究。对于二维平面流体，流速场可以记为

$$\vec{V}(x, y) = (u(x, y), v(x, y)). \quad (4.3)$$

这里 u 和 v 是速度场的 x 和 y 分量。定常体现为速度场不含时间依赖。不可压缩性要求流体流动时体积不发生显著的压缩或膨胀。用数学公式可以表示为

$$\operatorname{div} \vec{V} := \partial_x u + \partial_y v = 0. \quad (4.4)$$

上式左边称作 \vec{V} 的散度。散度的物理意义可以通过通量理解。给定一条封闭曲线 C ，流线经过 C 的通量定义为

$$\operatorname{Flux}(C) := \int_C \vec{V} \cdot \vec{n} ds, \quad (4.5)$$

其中 \vec{n} 是 C 上线元的单位法向量, 方向由 C 的内部指向外部。由格林定理, 这又可以写为

$$\int_C \vec{V} \cdot \vec{n} ds = \iint \operatorname{div} \vec{V} dx dy. \quad (4.6)$$

如果 $\operatorname{Flux}(C) > 0$, 表明不断有流体从 C 的内部流出, 因此不是不可压缩流体。同样, 如果 $\operatorname{Flux}(C) < 0$, 表明不断有流体流进 C 的内部。

例子 25 令

$$\vec{V} = \left(\frac{x}{x^2 + y^2}, \frac{y}{x^2 + y^2} \right),$$

\vec{V} 在原点之外处处散度为零。但在原点处 \vec{V} 没有定义, 因此其散度也没有定义。

流速场在某一点处的旋度记为

$$\operatorname{curl} \vec{V} := \partial_x v - \partial_y u. \quad (4.7)$$

势流定义为在空间中流速场的旋度处处为零的流。物理上理解, 如果在放置一片树叶在流体上, 随着流体的流动树叶没有发生自旋的话就对应了势场。

例子 26 涡旋 (Eddy) 定义

$$\vec{V} = \left(\frac{-y}{x^2 + y^2}, \frac{x}{x^2 + y^2} \right).$$

注意 Eddy 是在除原点外是处处无旋的。

讨论 3 一个典型的有旋流体是层流, 例如

$$\vec{V} = (y^2, 0).$$

我们下面讨论的都是不可压缩势流。按照上面散度和旋度为零的定义我们有

$$0 = \partial_x u + \partial_y v, \quad 0 = \partial_x v - \partial_y u. \quad (4.8)$$

这个结果与柯西-黎曼方程非常接近, 仅差一个负号。我们立刻得到如下定义的函数

$$g(z) = u - iv \quad (4.9)$$

是解析函数。由柯西定理知道, 在 $g(z)$ 的解析区域内必定存在其原函数, 记为

$$\Phi(z) = \varphi + i\psi, \quad (4.10)$$

且 $\Phi'(z) = g(z)$ 。我们把 φ 称作流速场的势函数, 把 ψ 称作流函数, 把 Φ 称作复势, 把 Φ' 称作复速度。我们有

$$\begin{aligned} \Phi'(z) &= \partial_x \varphi + i \partial_x \psi \\ &\stackrel{\text{C-R}}{=} \partial_x \varphi - i \partial_y \varphi \\ &= u - iv, \end{aligned} \quad (4.11)$$

因此

$$\nabla\varphi := (\partial_x\varphi, \partial_y\varphi) = (u, v) = \vec{V}, \quad (4.12)$$

即 φ 的梯度正好给出流速。

例子 27 已知流体速度场

$$\vec{V} = \left(\frac{x}{x^2 + y^2}, \frac{y}{x^2 + y^2} \right),$$

求复势函数。

下面我们解释为什么将 ψ 称作流函数。我们前面证明过，作为一对共轭函数，

$$\varphi(x, y) = C_1, \quad \psi(x, y) = C_2$$

所定义的等高线互相垂直。另外由多变量微积分我们知道 $\nabla\varphi$ 与 φ 的等高线垂直。为了看出这一点，我们参数化某一条 φ 的等高线为

$$\gamma(t) : (x(t), y(t)), \quad a \leq t \leq b. \quad (4.13)$$

则

$$\varphi(x(t), y(t)) = C_1. \quad (4.14)$$

由微积分的链式法则我们得到

$$\begin{aligned} 0 &= \frac{d\varphi(x(t), y(t))}{dt} \\ &= \frac{\partial\varphi}{\partial x} \frac{dx}{dt} + \frac{\partial\varphi}{\partial y} \frac{dy}{dt} \\ &= (\partial_x\varphi, \partial_y\varphi) \cdot \left(\frac{dx}{dt}, \frac{dy}{dt} \right), \end{aligned} \quad (4.15)$$

而 $(dx/dt, dy/dt)$ 刚好是等高线的切线方向，因此梯度与等高线垂直。因此我们得到结论， \vec{V} , $\nabla\varphi$, ψ 的等高线互相平行。因此求出 ψ 的等高线也就求出了流体的流线。这正是流函数这一名字的来源。

例子 28 已知复势函数 $\Phi(z) = (a + ib)z$ ，求速度场和流线。

例子 29 已知复势函数 $\Phi(z) = Lnz$ ，求速度场和流线。

例子 30 已知复势函数 $\Phi(z) = iLnz$ ，求速度场和流线。

流速为零的点成为驻点。由

$$\Phi'(z) = \partial_x\varphi - i\partial_y\varphi = u - iv \quad (4.16)$$

知道，在驻点亦即 $\Phi'(z) = 0$ 的点。

例子 31 求出 $\Phi(z) = z^2$ 的流线和驻点。

例子 32 已知复势函数 $\Phi(z) = \text{Ln}(z-1) + \text{Ln}(z+1)$ ，画出驻点和流线。

复分析方法常被用来处理定常不可压缩势流绕固体边界的流动问题。用复势处理这类问题的简便之处在于，流线在固体的边界处的指向应与边界的切线一致。换言之，绕流固体的边界曲线本身就是一条流线，因此 Ψ 在固体边界处应为常数。不失一般性，可以设这个常数为零。这样给定边界线的绕流问题转化为寻找这样一个复势函数 $\Phi(z)$ ，使得其在给定边界上取实数值。

例子 33 无穷远处的均匀流体流经一个圆形边界的复势由下式给出

$$\Phi(z) = z\bar{U} + \frac{R^2}{z}U,$$

其中 R 是圆的半径。

利用 Mathematica 的内置函数 `ComplexStreamPlot` 可以很方便可视化由复势所定义的流函数。例如，如下函数

```
ComplexStreamPlot[f[z], {z, -2-2 I, 2+2 I}]
```

在矩形区域内画出向量场 ($\text{Re}f, \text{Im}f$)。假设复势是 Φ ，则需要用 Mathematica 画的是 $(\Phi'(z))^*$ 。图 Figure 4.1 是几种典型的复势所对应的流线图。

4.1.1 茹可夫斯基变换和机翼流线

上面结果的一个有趣应用是用来讨论机翼的空气动力学。为此我们要用到共形变换。基本想法是，通过茹可夫斯基变换可以将圆柱变为机翼形状，同样的变换可以将圆柱附近的复势变为机翼对应的复势。

茹可夫斯基变换定义如下：

$$w = z + \frac{c^2}{z} \quad (4.17)$$

其中 c 是一个实常数。对于由半径 $R > c$ 所定义的圆 $|z| = R$ ，在茹可夫斯基变换下变换为一个椭圆，见图 Figure 4.2。为了理解这一点，对于半径为 R 的圆， $z = R \cos \theta + iR \sin \theta$ ，变换后成为

$$w = Re^{i\theta} + \frac{c^2}{R}e^{-i\theta} = \left(R + \frac{c^2}{R}\right)\cos \theta + i\left(R - \frac{c^2}{R}\right)\sin \theta \quad (4.18)$$

如果我们令

$$X = \left(R + \frac{c^2}{R}\right)\cos \theta, \quad Y = \left(R - \frac{c^2}{R}\right)\sin \theta \quad (4.19)$$

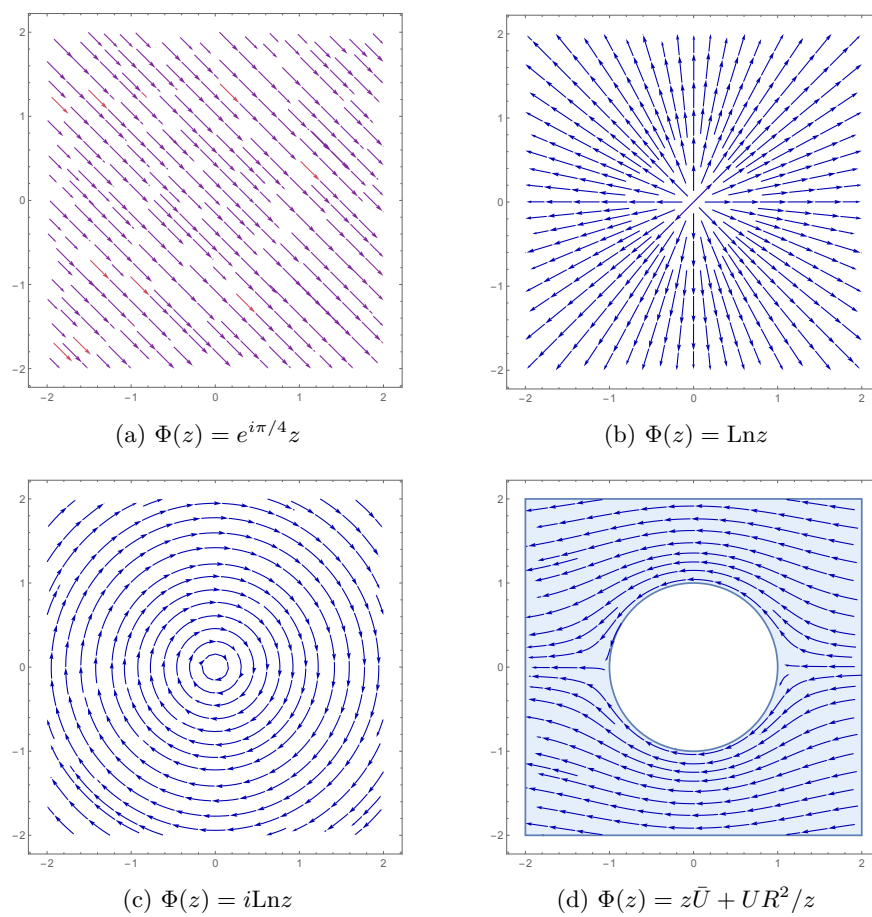


Figure 4.1: 几种典型复势所对应的流线图。

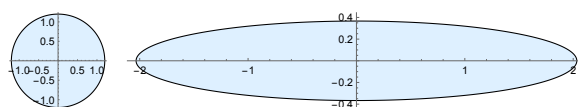


Figure 4.2: 茹可夫斯基变换

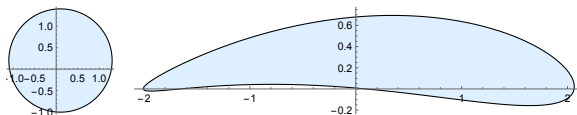


Figure 4.3: 机翼形变换

则容易看出

$$\frac{X^2}{(R + \frac{c^2}{R})^2} + \frac{Y^2}{(R - \frac{c^2}{R})^2} = 1 \quad (4.20)$$

这是一个椭圆的方程。

为了得到机翼的形状，我们可以让圆稍稍偏离原心， $|z - z_0| = R$ 。这是茹可夫斯基变换的效果如图 Figure 4.3所示。

对于 $|z - z_0| = R$ 所定义的圆柱，其复势可以写为：

$$\Phi(z) = (z - z_0)\bar{U} + \frac{R^2}{z - z_0}U \quad (4.21)$$

求解(4.17)得到

$$z = \frac{w \pm \sqrt{w^2 - 4c^2}}{2} \quad (4.22)$$

因此在 w 平面的复势可以写为：

$$\Phi(w) = \left(\frac{w \pm \sqrt{w^2 - 4c^2}}{2} - z_0 \right) \bar{U} + \frac{R^2}{\frac{w \pm \sqrt{w^2 - 4c^2}}{2} - z_0} U \quad (4.23)$$

对应的流线见图 Figure 4.4,

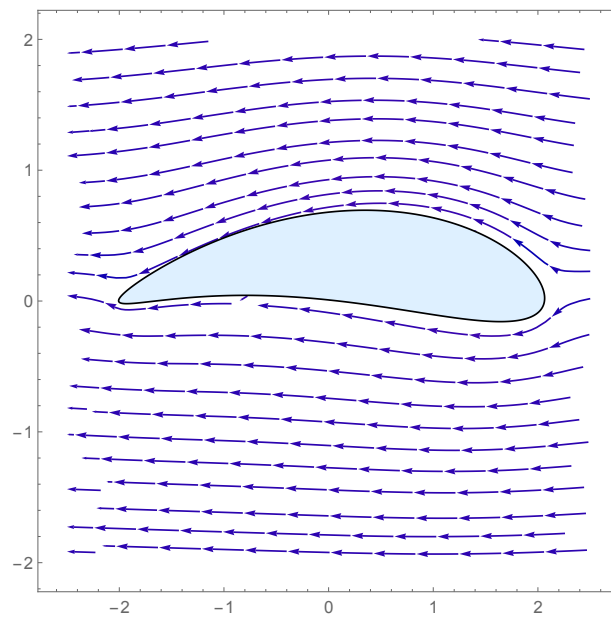


Figure 4.4: 机翼流线